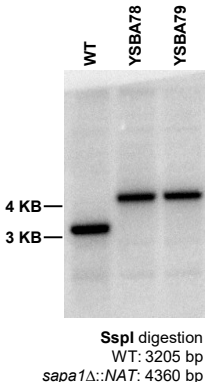
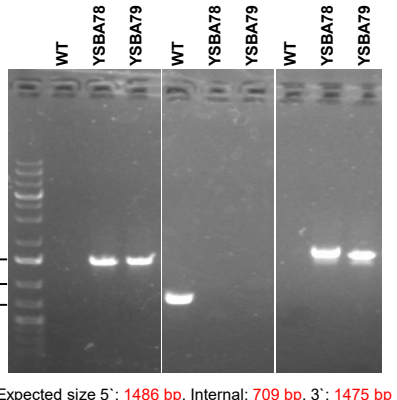
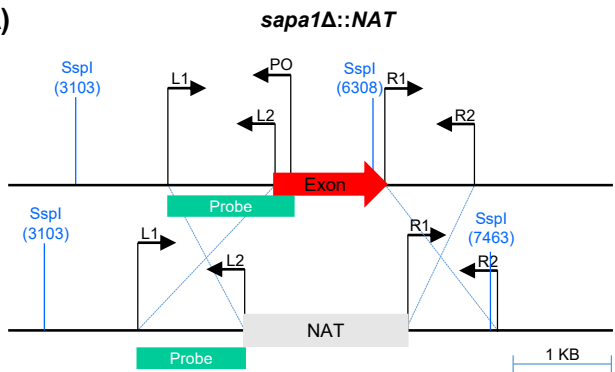
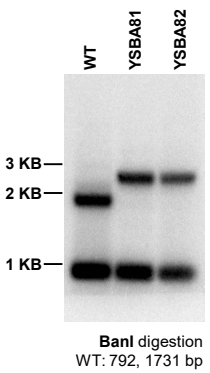
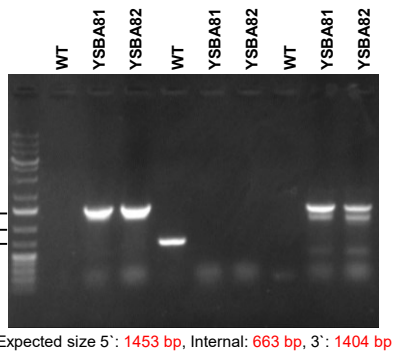
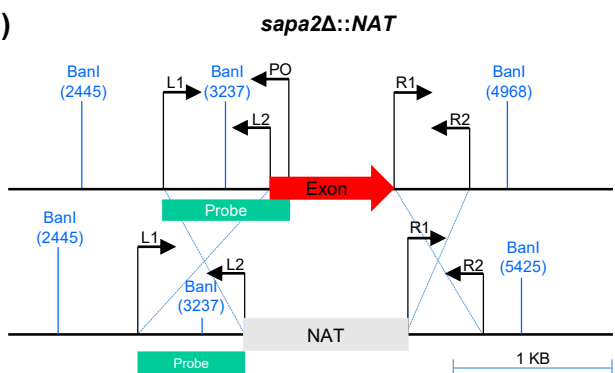


**Figure S1 (Kim et al.)**

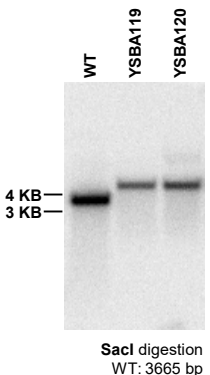
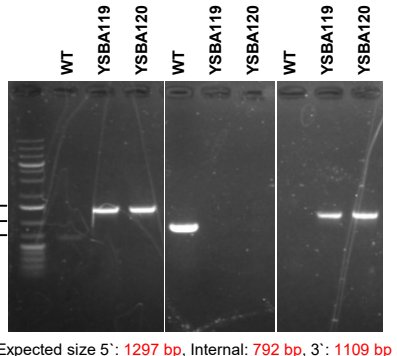
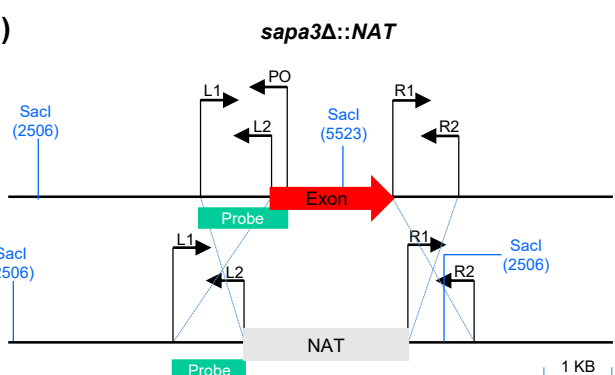
**(A)**



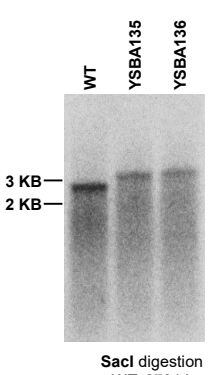
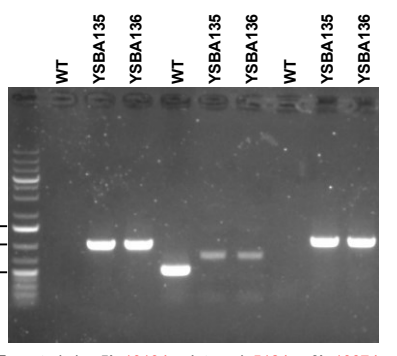
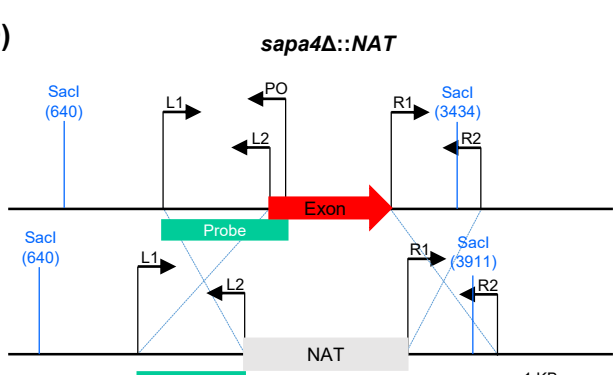
**(B)**



**(C)**

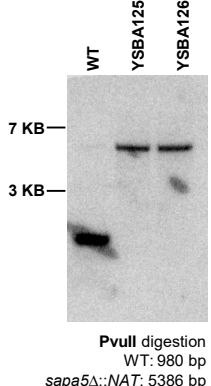
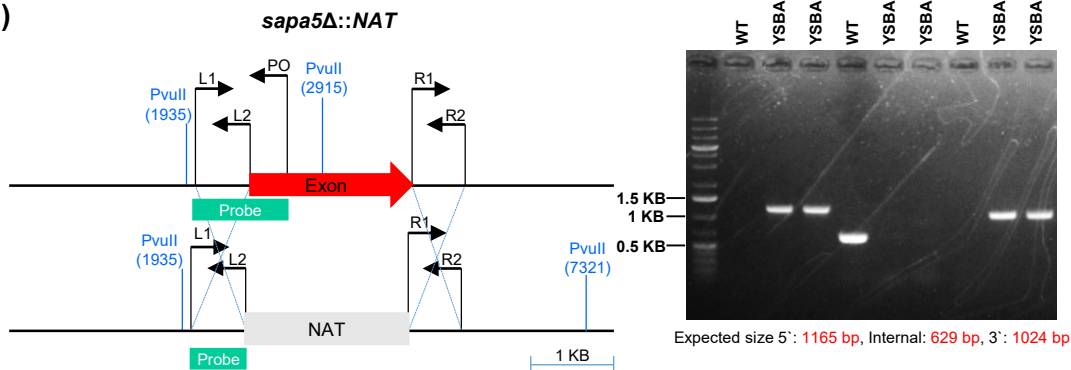


**(D)**

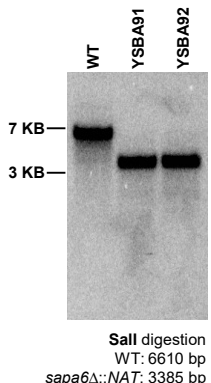
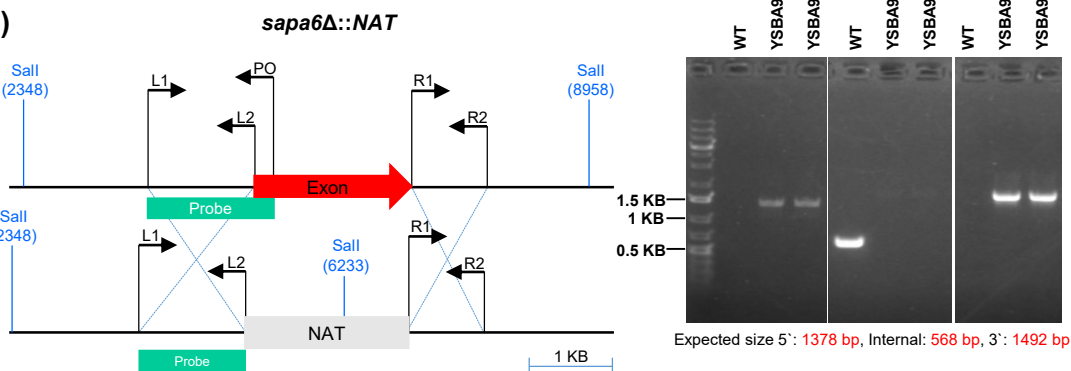


**Figure S1 (Kim et al.)**

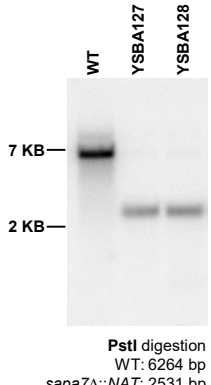
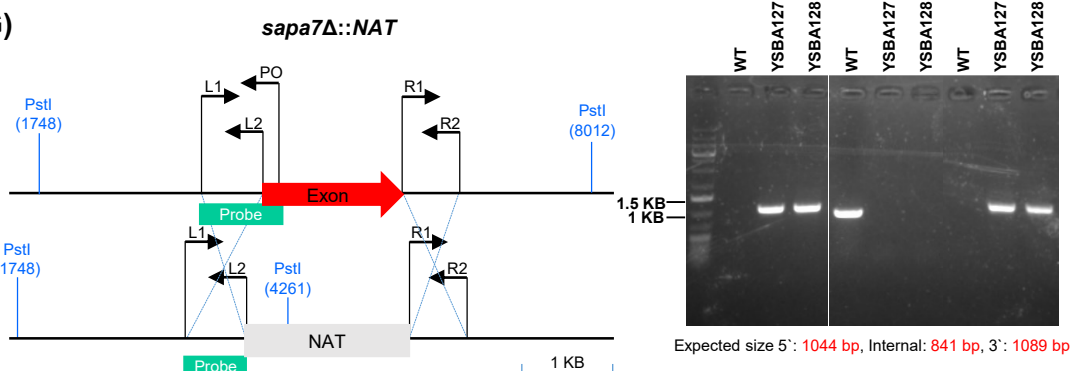
(E)



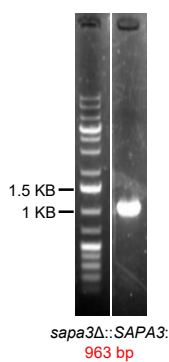
(F)



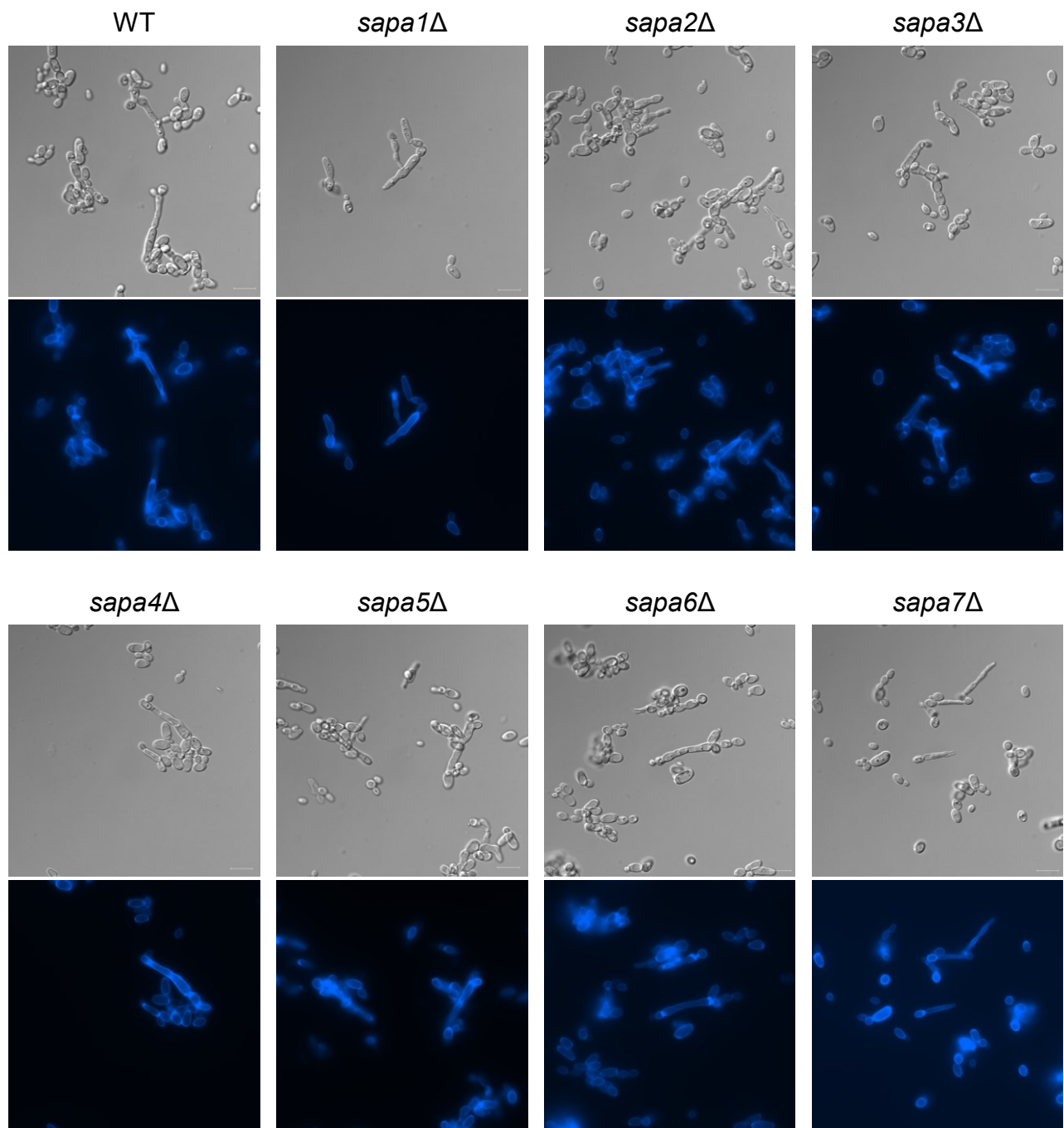
(G)



(H)



**Figure S2 (Kim et al.)**



**Figure S3 (Kim et al.)**

